

ผลของอินทิรีวัตถุ เกิดอัตโนมัติ แล้วสักขยณะเฉพาะ
ต่อวิทยากรและ แสดงบัตการหล่อของบดทศ

นาง วรรกาภา กิตินฤคນธ์



สถาบันวิทยบริการ จุฬาลงกรณ์มหาวิทยาลัย

วิทยานิพนธ์นี้เป็นส่วนหนึ่งของการศึกษาตามหลักสูตรปริญญาวิทยาศาสตร์มหาบัณฑิต
สาขาวิชาเทคโนโลยีเซรามิก ภาควิชาวัสดุศาสตร์
บัณฑิตวิทยาลัย จุฬาลงกรณ์มหาวิทยาลัย

ปีการศึกษา 2541

ISBN 974-639-646-3

ติดติที่รับของบัณฑิตวิทยาลัย จุฬาลงกรณ์มหาวิทยาลัย

**EFFECTS OF ORGANIC MATTER, SOLUBLE SALTS AND
CHARACTERISTICS OF BALL CLAYS
ON THEIR RHEOLOGICAL AND CASTING PROPERTIES.**

Mrs. Varangkana Klinsukol

**A Thesis Submitted in Partial Fulfillment of Requirements
for the Degree of Master of Science in Technology Ceramics**

Department of Materials Science

Graduate School

Chulalongkorn University

Academic Year 1998

ISBN 974-639-646-3

Thesis Title Effects of Organic Matter, Soluble Salts and
Characteristics of Ball Clays on Their Rheological
and Casting Properties.

By Varangkana Klinsukol

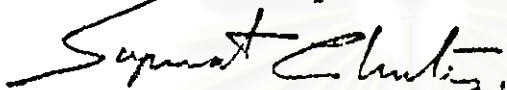
Department Materials Science

Thesis Advisor Assistant Professor Khemchai Hemachandra, Ph.D.

Thesis Co-advisor Chan Chanyavanich, Ph.D.

.....

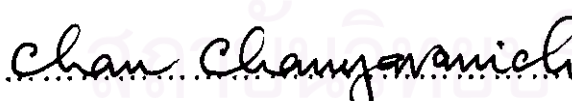
Accepted by the Graduate School, Chulalongkorn University
in Partial Fulfillment of the Requirements for the Master's Degree.


..... Dean of Graduate School
(Professor Supawat Chutivongse, M.D.)

Thesis Committee


..... Chairman
(Associate Professor Paiparn Santisuk)


..... Thesis Advisor
(Assistant Professor Khemchai Hemachandra, Ph.D.)


..... Thesis Co-advisor
(Chan Chanyavanich, Ph.D.)


..... Member
(Paisan Kanchanapiboon)


..... Member
(Lada Punsukumtana, Ph.D.)

รายงานคณา กัลย์สุกนร. : ผลของอินทรีวัตถุ เกลือละลายน้ำ และลักษณะเฉพาะตัววิทยาการแสง และสมบัติ การหล่อของน้ำ soluble salts (EFFECTS OF ORGANIC MATTER, SOLUBLE SALTS AND CHARACTERISTICS OF BALL CLAYS ON THEIR RHEOLOGICAL AND CASTING PROPERTIES) อ.ที่ปรึกษา : ผศ. ดร. เนียมชัย เหมะจันทร์, อ.ที่ปรึกษาร่วม : ดร. ชาญ จารยานันช์; 209 หน้า, ISBN 974-838-646-3.

งานวิจัยมีวัตถุประสงค์เพื่อศึกษาความแตกต่างขององค์ประกอบต่างๆ ในน้ำ soluble salts ที่มีต่อ คุณภาพของน้ำดิน ซึ่งใช้ในการผลิตเครื่องสุขภัณฑ์ในประเทศไทย วิธีดำเนินการวิจัยเริ่มต้นด้วยการคัดเลือก น้ำ soluble salts ที่มีสมบัติการใช้งานที่ดีจากแหล่งกำเนิดต่างประเทศ 4 ตัวอย่าง และในประเทศไทย 3 ตัวอย่าง กับ น้ำ soluble salts ที่มีสมบัติการใช้งานเป็นรอง 4 ตัวอย่าง ห้องทดลอง 11 ตัวอย่าง เป็นตัวแทนสำหรับวิจัย เปรียบเทียบ ผลการวิจัยประกอบด้วย 4 หมวด ๆ แรก ตรวจสอบลักษณะเฉพาะทั่วไป ประกอบด้วย วิเคราะห์ทางองค์ประกอบทางเคมี องค์ประกอบทางแร่ การกระจายขนาดของอนุภาค และโครงสร้าง อนุภาค หมวดที่ 2 เป็นการวิเคราะห์เชิงปริมาณของอินทรีวัตถุ ซึ่งประกอบด้วยค่า ปริมาณคาร์บอนทั้ง หมด ปริมาณคาร์บอน อนินทรี ปริมาณคาร์บอนอินทรี ตลอดจนการสกัดหาบปริมาณ กรดอิ休มิกและ เบตาอิ休มิก แล้วนำไปทดสอบเบรียบด้วยวิธีนิวเคลียร์แมกเนติกเรโซแนร์สเปกโตรสโคปี หมวดที่ 3 เป็นการวิเคราะห์ปริมาณแกลือละลายน้ำที่มีในตัวอย่างดิน คือแอดไออ่อน 6 รายการ แอนไฮดรอยด์ 6 รายการ รวมทั้งค่า ปริมาณสารที่ละลายได้ทั้งหมด ความกระด้างทั้งหมดในรูปของแคลเซียมคาร์บอนेट และค่าความกระด้างที่ไม่ใช้คาร์บอนेट หมวดที่ 4 เป็นการวัดสมบัติทางวิทยาการแสงและสมบัติการหล่อ ตัวแต่การตอบสนองต่อสารช่วยการกระจายลอยตัว ความแข็งแรงสมพัทลักษณะของเจล การตอบสนองต่อ แรงเฉือน ค่าความหนืด และทิกโซโกรافี ส่วนความหนาในการหล่อวัดด้วยเครื่อง Baroid filter press และ การหล่อจริงในแบบปูนปลาสเตอร์

สมบัติการใช้งานของดินแต่ละกลุ่ม ถูกพิจารณาเบรียบเทียบกับผลการวิจัยในแต่ละกลุ่ม และ ผลการทดสอบยืนยันว่า ชนิดและปริมาณอินทรีวัตถุและเกลือละลายน้ำที่มีอยู่ในดินแต่ละกลุ่มมีอิทธิพล ต่อสมบัติทางวิทยาการแสงของน้ำ soluble salts ในดอนท้ายได้มีความพยายามใช้กรดอิ休มิกที่มีจานวนใน ห้องทดลองและกรดอิ休มิกที่สกัดได้จากน้ำ soluble salts บางตัวอย่างเดิมลงในน้ำ soluble salts แหล่งที่มีอินทรีวัตถุดังตัวนี้ เพื่อเบรียบเทียบสมบัติด้วยข้อมูลที่ได้จากการวิจัยนี้พบว่าเป็นการตรวจลักษณะเฉพาะของน้ำ soluble salts ที่ใช้ใน อุตสาหกรรมสุขภัณฑ์ในแง่มุมจะเป็นการตัดสุดโดยเฉพาะอย่างยิ่งข้อมูลการวิเคราะห์และสกัด อินทรีวัตถุ ข้อมูลเบื้องต้นเหล่านี้สามารถนำมาใช้เป็นมาตรฐานการผลิตน้ำ soluble salts งานควบคุม คุณภาพวัตถุดูดในโรงงาน หรือการอ้างอิงเพื่อการวิจัย และที่สำคัญที่สุดงานวิจัยครั้งนี้เป็นรากฐาน การพัฒนาในอนาคตที่จะนำไปสู่การเลือกหรือการผลิตอินทรีวัตถุ และการผลิตน้ำ soluble salts ที่มีสมบัติโดย รวมดีเด่นขึ้นเป็นที่ต้องการของตลาด สำหรับใช้ผลิตเครื่องสุขภัณฑ์ทั่วไปในประเทศไทยและต่างประเทศ ผลงาน วิจัยประกอบด้วย 90 รูปภาพ, 8 ตาราง และเอกสารอ้างอิง 38 รายการ

วัสดุศาสตร์

ภาควิชา
สาขาวิชา
ปีการศึกษา

เทคโนโลยีชีวภาพ

2541

ลายมือชื่อนักศึกษา
ลายมือชื่ออาจารย์ที่ปรึกษา
ลายมือชื่ออาจารย์ที่ปรึกษาร่วม
ลายมือชื่ออาจารย์ที่ปรึกษาร่วม

คำชี้แจงการพิมพ์ต้นฉบับทั้งย่อวิทยานิพนธ์

ให้ปฏิบัติตามนี้

1. พิมพ์บทคัดย่อวิทยานิพนธ์ ความยาวไม่เกิน 1 หน้า ลงในกรอบสีเขียวด้านหลังของกระดาษแบบพิมพ์บันทึกคัดย่อฯ ที่บันทึกวิทยาลัยจะมอบให้เพียงแผ่นเดียวเท่านั้น (ดูตัวอย่างข้างล่าง)
2. ถ่ายสำเนาบทคัดย่อฯ ที่พิมพ์เสร็จแล้ว ทั้งภาษาไทยและภาษาอังกฤษ เรียงไว้หน้าบทคัดย่อของต้นฉบับวิทยานิพนธ์ฉบับสมบูรณ์ทุกเล่ม
3. ส่งกระดาษแบบพิมพ์บันทึกคัดย่อฯ (ซึ่งได้พิมพ์บทคัดย่อฯ เรียบร้อยแล้ว) พร้อมด้วยตัวเนา 1 ชุด ที่งานมาตรฐานการศึกษา บันทึกวิทยาลัย ในวันส่งต้นฉบับวิทยานิพนธ์ฉบับสมบูรณ์

ข้อแนะนำ

1. เพื่อป้องกันการผิดพลาดหรือชำรุด นิสิตควรทดสอบพิมพ์ บทคัดย่อฯ ในกระดาษ A4 ซึ่งต้องการทำอย่างให้ถูกต้องก่อนพิมพ์ลงด้านหลัง ของกระดาษแบบพิมพ์บันทึกคัดย่อ
2. การพิมพ์ ชื่อผู้วิจัย ชื่อเรื่องภาษาไทย-อังกฤษ ชื่ออาจารย์ที่ปรึกษา จำนวนหน้า การเว้นระยะ การเว้นบรรทัด ให้ถูกต้องอย่างถ่องถ้วน (ชื่อ บค ให้พิมพ์ต่อ ก้ามชื่อสกุลของผู้วิจัยคั้นด้วยเครื่องหมายจุลภาค ' ')

ตัวอย่างการพิมพ์บทคัดย่อวิทยานิพนธ์ภาษาไทย

→ สรุยยา ณ สำปาง : การขยายพันธุ์ในทางใบเล็ก *Rhizophora apiculata* Blume. ด้วยวิธีเพาะเทียมเมื่อเยื่อ
แหล่งการปักชำ (PROPAGATION OF *Rhizophora apiculata* Blume. BY TISSUE CULTURE AND
HYPOCOTYL CUTTING TECHNIQUES) อ. ที่ปรึกษา : ดร. ดร. พิพัฒน์ พัฒนาภรณ์ บ. ที่ปรึกษา-
ร่วม : รศ. ดร. ประสาทพงษ์ สมิตะman ; 90 หน้า. ISBN 974-634-954-6.

→ การเพาะเทียมเมื่อเยื่อจากส่วนยอด, ชื้อ, เออมบาร์โต, ไซไปคอทิด และใบของใบในต้นน้ำอาหารทั้งกระหง
สูตร Gauthere (1942), สูตร Hildebrandt, Riker & Daugger (1946) สูตร Heller (1953), สูตร Nitsch & Nitisch (1956) และ¹
สูตร Murashige & Skoog (1962) เสริมด้วยสารควบคุมการเจริญเติบโต 2 ชนิด กือ ออกซิน (IAA, IBA, NAA, 2,4-D)
และไครโทกินิน (BAP, Kinetin) ระดับความเข้มข้น 4 ระดับคือ 0, 2, 5 และ 10 มก./ล. พนว่าเมื่อเท่าเดียวกันของน้ำอาหารทุก
สูตรให้ผลใกล้เคียงกันคือ เมื่อเทียบกับน้ำตากอทั่งรำดเร้า จึงยังไม่สามารถตอบสนองต่อการพัฒนาเป็นแกลลัสและเจริญ²
เป็นต้นเป็นต้นที่ไปได้ วิธีที่ดีที่สุดที่ร่วงละลายการเกิดศีรษะต่อไปกว่าปกติก็คือ การเดี่ยงเมื่อเยื่อพิชในอาหารเหลว MS ที่
เสริม 0.5% PVP โดยเดี่ยงบนเกรียงเบ่า 75 รอบต่อนาที จากนั้นถ่ายเมื่อเยื่อพิชไปเดี่ยงบนอาหารกึ่งแข็ง MS และเป็นต้น
อาหารทุกวัน ซึ่งพบว่ามีการพัฒนาของใบจากส่วนยอด แต่ไม่สามารถเจริญเติบโตต่อไปได้

การศึกษาการใช้ออกซินและระดับความเข้มข้นต่างๆ ต่อการกระตุ้นการสร้างรากและยอดพิชเพื่อขยายพันธุ์
ใบในต้นน้ำ夷ก กระหงใบ夷กใบในทางใบเล็กมาตัดออกเป็น 3 ส่วนคือ ส่วนยอด ส่วนกลาง และส่วนโคน หลักจากนั้นนำไป
ปักทางใบ夷กและส่วนโคนจุ่นในออกซิน 3 ชนิด กือ IAA, IBA และ NAA ที่ระดับความเข้มข้น 500, 1,000, 2,000, 4,000 และ
6,000 มก./ล. และใช้ชิ้นส่วนชนิดเดียวกันที่ไม่จุ่นออกซินเป็นชุดควบคุม พนว่า IAA และ IBA มีผลต่อการพัฒนาของยอด

แนวกรอบสีเหลืองสำหรับพิมพ์ข้อความ

แนวพิมพ์ชื่อผู้วิจัย ชื่อวิทยานิพนธ์ อาจารย์ที่ปรึกษา จำนวนหน้า และ ISBN

เว้นระยะ 2 บรรทัด

แนวช่องสำหรับพิมพ์ข้อความ

เว้นระยะ 1 บรรทัด

3971573623 : MAJOR CERAMIC TECHNOLOGY

KEY WORD: ORGANIC MATTER / SOLUBLE SALTS / BALL CLAYS / RHEOLOGICAL PROPERTIES/CASTING PROPERTIES
VARANGKANA KLINSUKOL : EFFECTS OF ORGANIC MATTER , SOLUBLE SALTS AND CHARACTERISTICS OF
BALL CLAYS ON THEIR RHEOLOGICAL AND CASTING PROPERTIES. THESIS ADVISOR : ASSIST. PROF.
KHEMCHAI HEMACHANDRA, Ph.D. CHAN CHANYAVANICH, Ph.D. 209 pp. ISBN 974-639-646-3.

Characteristic features of ball clay that have influence on slip rheology and casting properties were studied. The ball clay samples were classified into 3 groups; 11 samples: the first group is local ball clays having good rheological and casting properties, the second group is imported ball clays having superior rheological and casting properties and the last group is ball clays that have inferior rheological and casting properties. For comparative study, the samples were investigated with 4 groups of characterizing techniques, the first is general characterization which consist of chemical, mineralogical and microstructural together with particle size distribution analysis. The second is organic matter characterization such as total carbon, inorganic carbon and organic carbon. Extractable humic substance were quantitative analyzed and classified into humic acid and β -humus then identified by Nuclear Magnetic Resonance Spectroscopy (NMR). The third group is soluble salts analysis of 6 cations and 6 anions including total dissolved solid, carbonate hardness and non-carbonate hardness. The last feature is rheology and casting properties by studying about deflocculation response, gelation, relative gel-strength, shear response, viscosity and thixotropy. For casting rate test were made with Baroid Filter Press and plaster mold.

The results confirm that organic matter and soluble salts in each group of ball clays have influence on rheological and casting properties. Finally, efforts had been made by adding extractable humic acid from some ball clay samples and commercial humic acid to low organic ball clay to study their rheological and casting properties

The results of this intensive sanitaryware ball clay characterization will benefit ball clay manufacturers and sanitaryware industry. They can use this information to improve in quality control of Thai ball clays. The ultimate advantage was to establish the new concepts of organic matter selection and production and finally towards the production of high quality ball clays for the sanitaryware industries. This research consists of 90 figures, 8 tables and 38 references.

ภาควิชา.....
สาขาวิชา.....
ปีการศึกษา.....

วัสดุศาสตร์

เทคโนโลยีเชิงมิวสิก

2541

ลายมือชื่อนิสิต.....
ลายมือชื่ออาจารย์ที่ปรึกษา.....
ลายมือชื่ออาจารย์ที่ปรึกษาร่วม.....

คำชี้แจงการพิมพ์ต้นฉบับทั้งย่อวิทยานิพนธ์

ให้ปฏิบัติตามนี้

1. พิมพ์ทั้งคัดย่อวิทยานิพนธ์ ความยาวไม่เกิน 1 หน้า ลงในกรอบสีเขียวด้านหลังของกระดาษแบบพิมพ์ทั้งปอฯ ที่บันทึกวิทยานิพนธ์ ให้เพียงแผ่นเดียวเท่านั้น (ถูด้วยป่างข้างล่าง)
2. ถ่ายสำเนาทั้งคัดปอฯ ที่พิมพ์เสร็จแล้ว ทั้งภาษาไทยและภาษาอังกฤษ เรียงไว้หน้าทั้งคัดปอของต้นฉบับวิทยานิพนธ์ฉบับสมบูรณ์ทุกเล่ม
3. ลงกระดาษแบบพิมพ์ทั้งคัดปอฯ (ซึ่งได้พิมพ์ทั้งคัดปอฯ เรียบร้อยแล้ว) พร้อมด้วยสำเนา 1 ชุด ที่งานมาตรฐานการศึกษา บันทึกวิทยานิพนธ์ ในวันส่งต้นฉบับวิทยานิพนธ์ฉบับสมบูรณ์ .

ข้อแนะนำ

1. เพื่อป้องกันการผิดพลาดหรือชำรุด นิยมควรทดลองพิมพ์ บทคัดปอฯ ในกระดาษ A4 ซึ่งต้องเรียกว่า “ให้ถูกต้องก่อนพิมพ์ลงด้านหลัง” ของกระดาษแบบพิมพ์ทั้งคัดปอฯ
2. การพิมพ์ ชื่อผู้วิจัย ชื่อเรื่องภาษาไทย-อังกฤษ ชื่ออาจารย์ที่ปรึกษา จำนวนหน้า การเว้นระยะ การเว้นบรรทัด ให้ถูกต้องยังข้างล่าง (ชื่อ บค ให้พิมพ์ต่อท้ายชื่อผู้วิจัยทั้ง二字ด้วยเครื่องหมายจุลภาค ; ;)

ตัวอย่างการพิมพ์ทั้งคัดย่อวิทยานิพนธ์ภาษาอังกฤษ

→ # C626830 : MAJOR BIOTECHNOLOGY
→ KEY WORD: *Rhizophora apiculata* / PROPAGATION / TISSUE CULTURE / HYPOCOTYL CUTTING / MANGROVE
→ SARUNYA NALUMPANG : PROPAGATION OF *Rhizophora apiculata* Blume. BY TISSUE CULTURE AND HYPOCOTYL CUTTING TECHNIQUES. THESIS ADVISOR : ASSIST. PROF. PIPAT PATANAPONPAIBOON, Ph.D. THESIS CO-ADVISOR : ASSOC. PROF. PRASARTPORN SMITAMANA, Ph.D. 90 pp. ISBN 974-634-954-6.

Shoot tips, nodes, embryos, hypocotyls and leaf discs from mangrove (*Rhizophora apiculata* Blume.) were cultured on the following media : Gauthere (1942), Hilderbrandt, Riker & Dauggar (1946), Heller (1953), Nitsch & Nitsch (1956) and Murashige & Skoog (1962) supplemented with various form of auxins (IAA, IBA, NAA, 2, 4-D) and cytokinins (BAP, kinetin) at 4 different concentrations (0, 2, 5 and 10 ppm.). All of the media used in the studies revealed the same results that rapid browning of the cultured tissues could be observed. No callus formation or further development of the tissues could be obtained. Though the adding of 0.5% PVP to the liquid MS medium, shook at 75 rpm on the rotary shaker and daily sub-culture could prolong the browning of the tissue which some development of the leaves from the shoot tip could be noticed, however, no real plantlet could be obtained.

Studies on the effects of auxins on the root and shoot promoting of the mangrove's seedlings were done by cutting the seedlings into 3 parts : top, middle and bottom. Each part were then dipped in either forms of auxins : IAA, IBA and NAA at the concentration of 500, 1,000, 2,000, 4,000 and 6,000 ppm. None auxin treated seedlings' parts were used as control group. The results showed that auxin at 2,000 ppm. could promote the better root development than other concentrations. The root enhancement of the top and bottom parts of the seedling were found when the IBA was applied, whereas the middle part of the seedling gave the better responded to IAA. Only IAA explicated the best action for the shoot development with the concentration of 2,000 ppm. on the top and bottom parts and 1,000 ppm. on the middle part. Furthermore, on the root development in the shoot derived from the cutting , IBA (500 ppm.) gave the best stimulation on the top part and IAA (1,000 ppm.) revealed the highest action to the middle and bottom parts of the seedlings.

แนวกรอบสีเหลืองสำหรับพิมพ์ข้อความ

เว้นระยะ 1 บรรทัด

เว้นระยะ 2 บรรทัด

แนวพิมพ์ชื่อผู้วิจัย ชื่อเรื่องภาษาไทย ชื่อ อ.ที่ปรึกษา จำนวนหน้าและ ISBN

แนวพิมพ์ KEY WORD

แนวพิมพ์เทลงประทับด้วยนิพิตรและ MAJOR



ACKNOWLEDGMENT

I would like to express my deepest gratitude to all those people, who in one way or another contributed to the conclusion of this work. To Assistant Professor Dr. Khemchai Hemachandra for his suggestion, Dr. Chan Chanyavanich, for his knowledge of clays and slips and especially for his advice in the presentation and technical support. To Mr. Aumnouvat Sarasalin for supporting me to enroll my Master degree. To Mr. Niphon Panichsukpaisan and Mr. Paisan Kanchanapiboon for technical support. To Mrs. Somsup Athikomrungsarit, for her help in soluble salts analysis. To Mrs. Pornsri Krobbuaban, for her organic matter analysis by Leco EC-12 and extraction technique. To Associate Professor Dr. Paiboon Prabuddhem, for enlightening me humic substance in soil science. To the National Metal and Materials Technology Center (MTEC), Dr. Sirinat Detchprohm and Mr. Thanawit Pothsri, for Nuclear Magnetic Resonance Spectroscopy (NMR) ; Dr. Buncha and Dr. Aree Thanaboonsombut, Mr. Apichat Leckngam and Mr. Teeraput Sombutwong, for Scanning Electron Microscope (SEM). To Dr. Lada Punsukumtana, for her suggestion.

My sincerely appreciation presents to Miss Othong Kanjanatariom, for her technical information.

Finance was supported by Rangsit University, Clays and Minerals (Thailand) Ltd. and American Standard (Thailand) Public Co., Ltd.

Thanks are also due to my elder brother, Mr. Charlie Leelasiri for his manuscript editing assistance.

And especially to my family for giving me the strength and chance to fulfill such an important goal. None of this would have ever been possible, without the help and faithful support of my husband, Mr. Suchai Klinsukol. His patience, dedication and positively constant encouragement were fundamental throughout the entire process. He deserves all my esteem for all of the hard work he did.

Table of Contents

	Page
Abstract (Thai).....	iv
Abstract (English).....	v
Acknowledgment.....	vi
List of Tables.....	xi
List of Figures.....	xxi
Chapter	
1. Introduction.....	1
2. Literature Survey.....	4
2.1 The Thai Sanitaryware Industry.....	4
2.2 Ball Clays used in Thailand.....	8
2.3 Characterization of Sanitaryware bodies.....	15
2.4 Effect of Organic Matter on Ball Clay.....	17
2.4.1 Effect on casting property.....	18
2.5 Effect of Soluble Salts on Ball Clay.....	21
2.6 Organic Matter in Soil Science.....	23
2.6.1 Properties of humic acid and fulvic acid.....	24
2.6.2 Effect of chemical structure of organic matter on rheology.....	28
3. Theoretical Considerations.....	30
3.1 Deflocculation and Protective Colloids.....	30
3.1.1 Van der Waal energy of attraction.....	30
3.1.2 The electrical double layer.....	33
3.2 Viscosity and Flow.....	56
3.3 Rheology.....	64
3.4 Casting Rate.....	65

	Page
Chapter	
4. Methods of Attack.....	69
4.1 Ball Clay Selection.....	71
4.2 Characterizing Features of Ball Clays.....	72
4.3 Quantitative Determination and Identification of Organic Matter.....	73
4.4 Soluble Salts Analysis.....	74
4.5 Rheological and Casting Properties Evaluation.....	74
5. Experimental Procedures.....	76
5.1 Ball Clay Sample Preparation Procedure.....	76
5.2 Ball Clay General Characterization Method.....	77
5.3 Organic Matter Analytical Procedure.....	77
5.3.1 Total Carbon (TC), Inorganic Carbon (IC) and Organic Carbon (OC) by Leco EC-12 Carbon Analyser.....	77
5.3.2 Extractable Humic and Fulvic acid by Gross Chemical Fractionation of Organic Matter.....	78
5.3.3 Humic and Fulvic Identification by NMR.....	79
5.4 Soluble Salts Analytical Procedure.....	85
5.5 Rheological and Casting Properties Determination.....	86
5.5.1 Flow Characterization.....	86
5.5.1.1 Deflocculation Response.....	86
5.5.1.2 Thixotropy.....	86
5.5.1.3 Flow Measurement by Brookfield Viscometer.	87
5.5.1.4 Flow Measurement by Gallenkamp Viscometer.	87
5.5.2 Casting Properties Measurement.....	88
5.5.2.1 Cast Rate by Baroid Filter Press.....	88
5.5.2.2 Cast Rate by Plaster Mold.....	88

	Page
	Chapter
6. Results.....	89
6.1 General Characterization of Ball Clays.....	89
6.1.1 Chemical Composition.....	89
6.1.2 Mineral Composition.....	90
6.1.3 Microstructure by	
6.1.3.1 Scanning Electron Microscope (SEM).....	93
6.1.3.2 Transmitted Electron Microscope (TEM).....	98
6.1.4 Particle Size Distribution.....	104
6.2 Organic Matter.....	110
6.2.1 Total Carbon (TC), Inorganic Carbon (IC) and Organic Carbon (OC) by Leco EC-12 Carbon Analyser.....	110
6.2.2 Humic and Fulvic Identification by NMR.....	122
6.3 Soluble Salts.....	124
6.4 Rheological and Castings Properties.....	125
6.4.1 Effect of Temperature on Rheology.....	125
6.4.2 Deflocculation Response.....	129
6.4.3 Gelation and Relative Gel-strength.....	133
6.4.4 Shear Response.....	142
6.4.5 Casting Properties.....	177
7. Discussion of Results.....	180
7.1 General Characterization of Ball Clays.....	180
7.1.1 Chemical Composition.....	180
7.1.2 Mineral Composition.....	181
7.1.3 Microstructure by	
7.1.3.1 SEM (Scanning Electron Microscope).....	181
7.1.3.2 TEM (Transmitted Electron Microscope).....	182

	Page
	Chapter
7.1.4 Particle Size Distribution.....	183
7.2 Organic Matter.....	184
7.3 Soluble Salts.....	187
7.4 Rheological and Casting Properties.....	187
7.4.1 Rheological properties.....	188
7.4.2 Casting Properties.....	193
8. Summary and Conclusions.....	195
9. Suggestion.....	197
References.....	198
Appendices.....	203
Appendix A.....	203
Appendix B.....	208
Biography.....	210



 สถาบันวิทยบริการ
 จุฬาลงกรณ์มหาวิทยาลัย

List of Tables

Table	Page
2.1 Lists of names and production scales of Thai sanitaryware factories.....	5
2.2 Sanitaryware exports (m.Baht).....	7
2.3 Chemical composition of some Thai ball clays.....	13
2.4 Mineral composition of some Thai ball clays.....	13
2.5 Particle size distribution of some Thai ball clays.....	14
2.6 Physical and rheology of some Thai ball clays.....	14
2.7 Modulus of rupture of Florida kaolin treated with different humic acids.....	19
2.8 Water of plasticity of Florida kaolin treated with different humic acids.....	19
2.9 Average chemical composition of soil humic substances worldwide.....	27
2.10 Important functional group in soil humus.....	28
5.1 Some of the nuclei routinely used in NMR.....	80
6.1 Chemical analysis of ball clays by XRF.....	89
6.2 Mineral analysis of ball clays by XRD.....	92
6.3 Particle size analysis of ball clays	104
6.4 Organic matter analysis of ball clays.....	110
6.5 Soluble salts analysis of ball clays.....	124
6.6 Casting properties of ball clays.....	177
6.7 Casting properties of MT and MT added with different sources of humic acid.....	178
6.8 Casting properties of MT added with different contents of commercial humic acid.....	179

List of Figures

Figure	Page
2.1 Jae Korn ball clay.....	10
2.2 Mae Than ball clay mining.....	11
2.3 Mae Than ball clay.....	11
2.4 Kok Kharm ball clay from tumbol Kok Kharm amphur Ron Phiboon Nakhon Si thammarat province.....	12
2.5 Effect of humic acid additions on viscosity of 25 % Florida kaolin slurry.....	20
3.1 The repulsive diffuse double layer at maximum deflocculation, with hydrated divalent cations adsorbed in the “double layer” + VDW attraction = net potential energy barrier.....	39
3.2 The repulsive diffuse double layer at both maximum deflocculation and flocculation, with hydrated divalent cations adsorbed in the “double layer” + VDW attraction to provide extremes of the net potential energy barriers.....	43
3.3 The repulsive diffuse double layer at optimum deflocculation and, flocculation, with hydrated cations adsorbed in the double layer + VDW attraction to provide stable net potential energy barriers....	45
3.4 Configuration of water adsorbed onto the basal surface of a clay mineral.....	48
3.5 Superposition of water structure on the basal oxygen layer of vermiculite.....	48
3.6 Configuration of water structure showing the bond through hydrogens to the clay surface.....	49
3.7 Adsorption of hydrated cations to an electronegative hydrophobic surface.....	50
3.8 Adsorption of hydrated cations to an electronegative hydrophilic surface.....	51
3.9 Adsorption of a cationic copolymer to an electronegative powder surface.....	52

Figure	Page
3.10 Adsorption of a grafted anionic copolymer to an electronegative powder surface.....	53
3.11 Model of adsorbed humic acid on clay particle.....	54
3.12 Theoretical parallel plate arrangement illustrating simple (Newtonian) flow.....	57
3.13 Typical flow curves for Newtonian plastic, pseudoplastic, and dilatant flow.....	60
3.14 Typical flow curves for thixotropic and turbulent flow.....	64
3.15 Casting rate of sanitaryware casting slip plot between cake thickness And square root of time.....	66
3.16 Baroid filter press schematic diagram.....	68
4.1 Method of attack chart.....	70
4.2 Ball clays characterization chart.....	73
5.1 Ball clay sample preparation chart.....	76
5.2 Total carbon, organic carbon and inorganic carbon analytical procedure chart.....	77
5.3 Extraction of humic substance chart.....	78
5.4 CP/MAS ^{13}C NMR spectra of three isolated humic acids.....	83
5.5 CP/MAS (A) and ^1H (B) NMR spectra of Singletary lake fulvic acid.....	84
6.1 XRD-pattern of ball clays group I and II.....	90
6.2 XRD-pattern of ball clays group III.....	91
6.3 SEM micrograph of MS (x 20,000).....	93
6.4 SEM micrograph of MVW (x 20,000).....	93
6.5 SEM micrograph of MT (x 20,000).....	94
6.6 SEM micrograph of SB-75 (x 20,000).....	94
6.7 SEM micrograph of HVC (x 20,000).....	95
6.8 SEM micrograph of REX (x 20,000).....	95
6.9 SEM micrograph of BB (x 20,000).....	96
6.10 SEM micrograph of JK (x 20,000).....	96
6.11 SEM micrograph of KK (x 20,000).....	97
6.12 SEM micrograph of WN (x 20,000).....	97

Figure	Page
6.13 SEM micrograph of PC (x 20,000).....	98
6.14 TEM micrograph of MS (x 75,000).....	98
6.15 TEM micrograph of MVW (x 75,000).....	99
6.16 TEM micrograph of MT (x 75,000).....	99
6.17 TEM micrograph of SB-75 (x 75,000).....	100
6.18 TEM micrograph of HVC (x 75,000).....	100
6.19 TEM micrograph of REX (x 75,000).....	101
6.20 TEM micrograph of BB (x 75,000).....	101
6.21 TEM micrograph of JK (x 75,000).....	102
6.22 TEM micrograph of KK (x 75,000).....	102
6.23 TEM micrograph of WN (x 75,000).....	103
6.24 TEM micrograph of PC (x 75,000).....	103
6.25 Residue of ball clays in group I (MS, MVW, MT).....	105
6.26 Residue of ball clays in group II (SB-75, HVC).....	106
6.27 Residue of ball clays in group II (REX, BB).....	107
6.28 Residue of ball clays in group III (JK, KK).....	108
6.29 Residue of ball clays in group III (WN, PC).....	109
6.30 Extractable humic acid, β -humus and fulvic solution of MS.....	111
6.31 Extractable humic acid, β -humus and fulvic solution of MVW.....	112
6.32 Extractable humic acid, β -humus and fulvic solution of MT.....	113
6.33 Extractable humic acid, β -humus and fulvic solution of SB-75.....	114
6.34 Extractable humic acid, β -humus and fulvic solution of HVC.....	115
6.35 Extractable humic acid, β -humus and fulvic solution of REX.....	116
6.36 Extractable humic acid, β -humus and fulvic solution of BB.....	117
6.37 Extractable humic acid, β -humus and fulvic solution of JK.....	118
6.38 Extractable humic acid, β -humus and fulvic solution of KK.....	119
6.39 Extractable humic acid, β -humus and fulvic solution of WN.....	120
6.40 Extractable humic acid, β -humus and fulvic solution of PC.....	121
6.41 CP/MAS ^{13}C NMR spectra of extractable humic acids and commercial humic acid.....	122
6.42 CP/MAS ^{13}C NMR spectra of extractable β -humus.....	123
6.43 Viscosity vs specific gravity of ball clays used in this study.....	126

Figure	Page
6.44 Effect of temperature on MS gelation (25 °C, 39 °C, 50 °C).....	127
6.45 Effect of temperature on SB-75 gelation (25 °C, 39 °C, 50 °C).....	128
6.46 Deflocculation response of ball clays.....	130
6.47 Deflocculation response of MT and MT added with different sources of humic acid.....	131
6.48 Deflocculation response of MT and MT added 0.1- 0.3 % commercial humic acid.....	132
6.49 Gelation of ball clays.....	134
6.50 Gelation of ball clays in group I and II.....	135
6.51 Gelation of ball clays in group III.....	136
6.52 Gelation of MT and MT added different sources of humic acid.....	137
6.53 Gelation of MT and MT added 0.1- 0.3 % of commercial humic acid.....	138
6.54 Relative Gel-strength of ball clays.....	139
6.55 Relative Gel-strength of MT and MT added different sources of humic acid.....	140
6.56 Relative Gel-strength of MT and MT added 0.1-0.3 % commercial humic acid.....	141
6.57 Shear response of MS (shear rate - shear stress curve).....	143
6.58 Shear response of MS (shear rate - viscosity curve).....	144
6.59 Shear response of MVW (shear rate - shear stress curve).....	145
6.60 Shear response of MVW (shear rate - viscosity curve).....	146
6.61 Shear response of MT (shear rate - shear stress curve).....	147
6.62 Shear response of MT (shear rate - viscosity curve).....	148
6.63 Shear response of SB-75 (shear rate - shear stress curve).....	149
6.64 Shear response of SB-75 (shear rate - viscosity curve).....	150
6.65 Shear response of HVC (shear rate - shear stress curve).....	151
6.66 Shear response of HVC (shear rate - viscosity curve).....	152
6.67 Shear response of REX (shear rate - shear stress curve).....	153
6.68 Shear response of REX (shear rate - viscosity curve).....	154
6.69 Shear response of BB (shear rate - shear stress curve).....	155

Figure	Page
6.70 Shear response of BB (shear rate - viscosity curve).....	156
6.71 Shear response of JK (shear rate - shear stress curve).....	157
6.72 Shear response of JK (shear rate - viscosity curve).....	158
6.73 Shear response of KK (shear rate - shear stress curve).....	159
6.74 Shear response of KK (shear rate - viscosity curve).....	160
6.75 Shear response of WN (shear rate - shear stress curve).....	161
6.76 Shear response of WN (shear rate - viscosity curve).....	162
6.77 Shear response of PC (shear rate - shear stress curve).....	163
6.78 Shear response of PC (shear rate - viscosity curve).....	164
6.79 Shear response of MT (shear rate - shear stress curve).....	165
6.80 Shear response of MT (shear rate - viscosity curve).....	166
6.81 Shear response of MT added 0.1 % HVC extractable humic acid (shear rate - shear stress curve).....	167
6.82 Shear response of MT added 0.1 % HVC extractable humic acid (shear rate - viscosity curve).....	168
6.83 Shear response of MT added 0.1 % BB extractable humic acid (shear rate - shear stress curve).....	169
6.84 Shear response of MT added 0.1 % BB extractable humic acid (shear rate - viscosity curve).....	170
6.85 Shear response of MT added 0.1 % commercial humic acid (shear rate - shear stress curve).....	171
6.86 Shear response of MT added 0.1 % commercial humic acid (shear rate - viscosity curve).....	172
6.87 Shear response of MT added 0.2 % commercial humic acid (shear rate - shear stress curve).....	173
6.88 Shear response of MT added 0.2 % commercial humic acid (shear rate - viscosity curve).....	174
6.89 Shear response of MT added 0.3 % commercial humic acid (shear rate - shear stress curve).....	175
6.90 Shear response of MT added 0.3 % commercial humic acid (shear rate - viscosity curve).....	176